

# محاسبه‌ی بار دینامیکی ناشی از برخورد آوار در حالت حدی فروریختن ساختمان‌های فولادی

محمد صافی (استادیار)

دانشکده‌ی مهندسی عمران و محیط زیست، دانشگاه شهید بهشتی

محسن هفڑاچی‌زاده<sup>\*</sup> (استاد)

دانشکده‌ی مهندسی عمران و محیط زیست، دانشگاه صنعتی امیرکبیر تهران

ماهیت پیچیده‌ی بارهای غیرمتربقه و اثرات اولیه‌ی خرابی و تأثیره‌ی ضربه‌ی ناشی از ریخت آوار، تحلیل سازه‌ها را در برابر این نوع بارها با مشکل مواجه می‌کند. در این نوشتار روش‌های محاسبه‌ی بار ناشی از آوار و چگونگی بررسی مسئله‌ی برخورد آوار با اعضای سازه‌ی مورد مقایسه و بررسی قرار گرفته و نتایج آنها با تجربیات موجود از آزمایش‌های اعضاء فولادی مقایسه شده است. با تهیه‌ی مدل عددی غیرخطی و انجام مطالعه‌ی پارامتری نمودارهای طراحی پیشنهادی جهت تخمین میزان بار ضربه روی قاب‌های خمشی فولادی در شرایط مختلف ارائه شده است. همچنین تحلیل حساسیت روی شاخص‌های مهم آوار انجام و نمودارهای موردنظر براساس آنها تنظیم شده است. نتایج این بررسی‌ها نشان می‌دهند که برخورد آوار در بسیاری از موارد می‌تواند بارهای قابل ملاحظه‌ی بسیار بیشتر از پیش‌بینی آئین نامه‌ها ایجاد کند و عواقب خرابی زیادی داشته باشد.

**واژگان کلیدی:** برخورد آوار، دینامیک تماس غیرخطی، بار غیرمتربقه، تخریب پیش‌روندۀ.

m\_safi@sbu.ac.ir  
dtehz@yahoo.com

## ۱. مقدمه

نشوند.<sup>[۱-۳]</sup> یکی از انواع بارهای فوق العاده که می‌تواند اثر قابل ملاحظه‌ی در رفتار سازه‌ها بگذارد، اضافه بار ناشی از ریخت آوار در حین زلزله یا انفجار است. این بار خصوصاً در بررسی تخریب پیش‌روندۀ و کترل انسجام سازه‌ی اهمیت بسیاری دارد. در این نوشتار، به بررسی تحلیلی این مسئله و ارائه رهنمودهایی برای طراحی ساختمان‌های فولادی در برابر چنین بارهایی پرداخته شده است.

نمونه‌های سازه‌های تخریب شده به صورت کلی و موضعی در اثر ریخت آوار طبقات فوقانی در واقع لزه‌ی، انفجار و توربیستی در دهه‌های اخیر قابل ملاحظه بوده است. از طرفی تقریباً تمام ساختمان‌ها در برابر چنین بارهایی طراحی نشده‌اند و لازم است روش ساده و مناسب برای ارزیابی رفتار آنها تحت این بارها ارائه شود.<sup>[۴]</sup> فلسفه‌ی طراحی تحت چنین بارهایی به این صورت است که سازه باید بتواند خرابی‌ها و ضربات ایجاد شده را به صورت موضعی کترل، مستهلك و مهار کند. لذا لازم است اجزاء مختلف سازه برای ایجاد چنین رفتاری طراحی و کترول شوند.<sup>[۵]</sup> رویکرد آئین نامه‌ها در مسئله‌ی کترول انسجام سازه‌ی به دو صورت حدیف تصادفی برخی از اعضاء و نیز اعمال بار تشدید یافته در بعضی دهانه‌های است.<sup>[۶-۷]</sup> در آئین نامه‌های موجود، میزان تشدید بار معمولاً معادل پیشنهادی ضربه‌ی ارتعاشی در نظر گرفته شده است، که وضعیت سقوط و انرژی ناشی از آن را در نظر نمی‌گیرد.<sup>[۸]</sup>

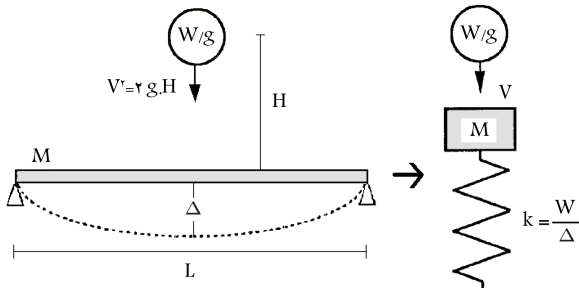
در این نوشتار، ابتدا به بررسی روش‌های محاسبه‌ی اثرات ضربه‌ی دینامیکی ناشی از سقوط آوار پرداخته و سپس مدل‌های مختلف ریاضی و عددی در این

در باگذاری سازه‌ها شدت و الگوی توزیع بارهای بهره‌برداری وارده قابل پیش‌بینی است و عموماً به صورت استاتیکی اعمال می‌شوند. در مقابل بارهای فوق العاده مانند ضربه و انفجار، الگو و شدت مشخصی ندارند و از طرفی ماهیت دینامیکی آنها، بررسی پاسخ سازه در برابر آنها را پیچیده می‌سازد. گرچه احتمال رخداد این نوع بارها در طول عمر بهره‌برداری سازه خیلی محدود است، اما خطر زیاد آنها در مجموع ریسک آسیب‌پذیری سازه در برابر آنها را قابل توجه می‌سازد. اعمال این‌گونه بارها در طراحی‌های متداول نیازمند داشتن تخمینی از میزان این بارها و الگوهای آنها و نیز معادل سازی اثرات دینامیکی آنهاست.

بار انفجار و ضربه، بارهای گذرا یا بارهایی هستند که به صورت دینامیکی و به شکل یک پالس در مدت زمان کوتاهی به سازه اعمال می‌شوند و در طول این مدت ازرسی به سرعت به سازه منتقل می‌شود. پاسخ سازه‌ها هم در برابر این بارها معمولاً به صورت غیرخطی است و لذا تحلیل پاسخ آنها برای طراحی‌های متداول بسیار مشکل خواهد بود.<sup>[۹]</sup> بنابراین لازم است با استفاده از مطالعات پارامتری و بررسی‌های تجربی و آزمایشگاهی، اطلاعات لازم برای انجام این‌گونه تحلیل‌ها مورد برآورد قرار گیرد.

اثرات تأثیرهایی این بارها باید قابل مهار باشد و منجر به گسترش خرابی در سازه

\* نویسنده مسئول  
تاریخ: دریافت ۲۵/۱۱/۱۳۹۱، اصلاحیه ۷/۲۲، پذیرش ۱۹/۸/۱۳۹۲.



شکل ۱. مدل اولیه‌ی مسئله‌ی برخورد ناشی از سقوط اجسام.

مستقیماً به دست خواهد آمد. برای سیستم یک درجه آزادی بدون میانی با اعمال شرایط اولیه تغییرمکان و سرعت ناشی از سقوط آوار مطابق رابطه‌ی ۳ خواهد بود:

$$u_0 = \Delta, \quad v_0 = \sqrt{2gH} \quad (3)$$

که در آن،  $\Delta$  تغییرمکان استاتیکی تحت بار آوار  $W$  است، و معادله‌ی حرکت از رابطه‌ی ۴ به دست می‌آید:<sup>[۷]</sup>

$$(M + \frac{W}{g})\ddot{u}(t) + ku = W \quad (4)$$

که در آن،  $W/g$  جرم آوار است که به سیستم ارتعاشی اضافه می‌شود. پاسخ دینامیکی رابطه‌ی مذکور مطابق رابطه‌ی ۵ خواهد بود:<sup>[۸]</sup>

$$u(t) = -\Delta \cos(\omega t) + \frac{\sqrt{2gH}}{\omega} \sin(\omega t) + \frac{W}{k} \quad (5)$$

که با جایگزینی  $\frac{W}{k} = \Delta$  و به صورت خلاصه‌شده رابطه‌ی ۶ را خواهیم داشت:<sup>[۹]</sup>

$$u(t) = \Delta \left[ 1 + \sqrt{1 + \frac{2gH}{(\omega\Delta)^2}} \cdot \sin \left( \omega t - A \tan \left( \frac{\sqrt{2gH}}{\omega\Delta} \right) \right) \right] \quad (6)$$

که در آن، بسامد سیستم مطابق رابطه‌ی ۷ خواهد بود:

$$\omega = \sqrt{\frac{k}{M + \frac{W}{g}}} \quad (7)$$

و با محاسبه‌ی پاسخ بیشینه‌ی دینامیکی ( $u^{\max}$ )، ضریب بار ضربه به صورت رابطه‌ی ۸ به دست می‌آید:

$$DIF = \frac{u_{\max}}{\Delta} = 1 + \sqrt{1 + \frac{2H(Mg + W)}{k\Delta^2}} \quad (8)$$

که در آن، به ازاء ارتفاع صفر ضربه بار دینامیکی کمینه‌ی ۲ به دست می‌آید، چرا که به هر حال جرم آوار به سیستم ارتعاشی تحمیل شده است. مقدار بیشینه‌ی ضربه ضربه در این سیستم بستگی به شکل بار ندارد و برای پالس مثلثی یا مستطیلی یکسان است. مقادیر به دست آمده‌ی ضربه بار ضربه از این رابطه برای تیر ساده بین ۵ تا ۱۰ درصد بیشتر از روش انرژی است.

### ۳.۲. روش انتشار موج

در این روش بار آوار به صورت یک سیستم دینامیکی انتشار امواج محوری در یک میله در نظر گرفته می‌شود (شکل ۲). این مدل برای بررسی فروریزش کلی آوار در

زمینه معرفی و مقایسه شده‌اند. همچنین نتایج برخی مطالعات تجربی موجود در این زمینه مورد توجه قرار گرفته است. سپس تئوری تحلیل عددی مسئله‌ی برخورد غیرخطی مورد ارزیابی قرار گرفته و مدل مناسب برای بررسی این اثر انتخاب شده است.

در این بخش مطالعه‌ی پارامتری روی اجزاء سازه‌ی فولادی تحت سیاریوهای مختلف ریزش آوار با انجام سیاریوهای جامعی از تحلیل‌های غیرخطی دینامیکی ارائه شده و اثرات رفتار مکانیک تماش غیرخطی در این پاسخ مورد بررسی قرار گرفته است. در قسمت پایانی، نمودارهای طراحی مستخرج از این مطالعات گستردگی پارامتری برای حالات مختلف طراحی و وضعیت‌های متفاوت سازه و آوار، تدوین و برای مقاصد طراحی پیشنهاد شده است.

## ۲. مقایسه‌ی کمی روش‌های محاسبه‌ی ضربه‌ی برخورد آوار

برای محاسبه‌ی اثرات ضربه معمولاً از مفهوم ضربه ضربه دینامیکی (DIF) استفاده می‌شود. این پارامتر معرف نسبت پاسخ بیشینه‌ی دینامیکی تحت اثر ضربه با تحلیل دینامیکی به بیشینه‌ی پاسخ استاتیکی به وزن بار ضربه در همان نقطه است.<sup>[۱۰]</sup> این ضربه با ضرب در وزن آوار برای کنترل پاسخ عضو تحتنی به کار گرفته می‌شود. روش‌های مختلف محاسبه‌ی ضربه در ادامه به طور خلاصه معرفی شده‌اند.

### ۲.۱. روش‌های مبتنی بر انرژی ضربه

در این روش فرض می‌شود که انرژی جنبشی حاصل از سقوط جسم با جرم  $M$  از ارتفاع  $H$  به تیر با طول  $L$  به صورت انرژی کرنشی ارتقای مطابق رابطه‌ی ۱ منتقل می‌شود:<sup>[۱۱]</sup>

$$MgH = \int_0^L w(x) \cdot u_y(x) dx \quad (1)$$

که در آن،  $w(x)$  شدت بار استاتیکی حاصل از سقوط آوار است. استهلاک انرژی را می‌توان در این رابطه با کسر از انرژی کرنشی اعمال کرد. با استفاده از این رابطه برای تیر با طول  $L$ ، مدول ارتقای  $E$ ، ممان اینرسی  $I$  و بار گستردگی آوار برابر  $w/g$  و ارتفاع سقوط  $H$ ، ضربه ضربه دینامیکی (DIF) به صورت رابطه‌ی ۲ خواهد بود:

$$DIF = 1 + DLF = 1 + \sqrt{\frac{1/2 \times (100 - \eta) EI H}{w L^4}} \quad (2)$$

که در آن،  $\eta$  ضربه استهلاک انرژی است. در این رابطه به ازاء ارتفاع صفر، ضربه ضربه برای واحد خواهد بود. این روش محاسبه‌ی ضربه بار ضربه در واقع همان روش شبه استاتیکی است، که برای تیرها با رفتار کشسان - خمیری هم به کار گرفته می‌شود (شکل ۱).

### ۲.۲. روش تحلیل دینامیکی

در این روش مدل یک یا دو درجه‌ی آزادی برخورد در نظر گرفته و معادله‌ی ارتعاش دینامیکی آن نوشته می‌شود. با حل معادله و به دست آوردن پاسخ، ضربه بار ضربه

با مقطع مستطیلی و دایره‌بی و وجود دارد. به دلیل استفاده از سرعت‌های بالا، رفتار سازه در این آزمایش‌ها عمدتاً در محدوده خمیری غیرخطی بوده است. جدول ۱، برخی نتایج ضریب ضربه‌ی به دست آمده از این نوع آزمایش‌ها روی تیرهای فولادی را نشان می‌دهد.<sup>[۸]</sup>

## ۵.۲. روش‌های دینامیک تماس

یکی از روش‌های عددی پیشرفته برای تحلیل دینامیکی برخورد روش اجزاء محدود صریح است، که پاسخ تاریخچه‌ی زمانی سازه تحت ضربه‌ی وارد را ارائه می‌دهد. در بعضی مسائل برخورد هم لازم است ترکیبی از روش‌های دینامیکی صریح و ضمنی مورد استفاده قرار گیرد.

در روش صریح دینامیکی می‌توان از روابط اساسی رفتاری مختلف مصالح مانند: ارجاعی همسان، ویسکوکشسان، مونی - ریولین، کشسان - خمیری، خمیری سخت‌شونده و بسیاری رفتارهای پیچیده‌ی دیگر استفاده کرد، که برای انجام تحلیل‌های غیرخطی بسیار جالب توجه است.

همچنین با استفاده از این روش می‌توان مسائل تماس غیرخطی با مدل‌های نقطه به نقطه، سطح به سطح و نقطه به سطح را در شرایط تماس سخت یا انعطاف‌پذیر و نیز با درنظرگرفتن تغییرشکل‌های بزرگ را تحلیل کرد. در بخش بعدی، فرمول‌بندی این روش به طور اجمالی ارائه شده است.

## ۳. دینامیک تماس غیرخطی

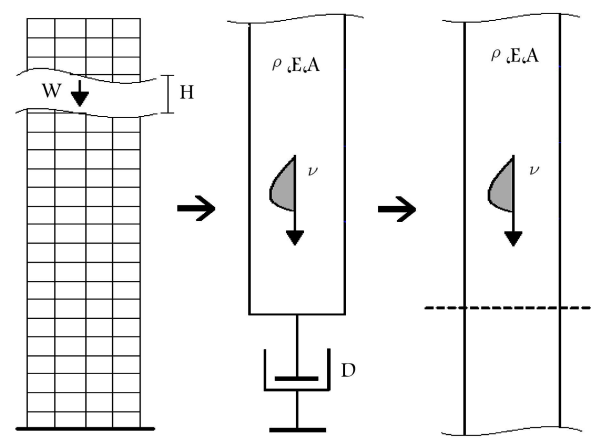
### ۳.۱. تحلیل صریح دینامیکی برخورد غیرخطی

حل صریح معادله‌ی تعادل دینامیکی برخورد در حوزه‌ی زمان برای مؤلفه‌های سرعت و شتاب بر حسب مؤلفه‌های تغییرمکانی را می‌توان به صورت رابطه‌ی ۱۱ نوشت:<sup>[۹]</sup>

$$\begin{aligned}\ddot{U}_t &= \frac{1}{\Delta t^2} (U_{t-\Delta t} - 2U_t + U_{t+\Delta t}) \\ \dot{U}_t &= \frac{1}{2\Delta t} (U_{t+\Delta t} - U_{t-\Delta t})\end{aligned}\quad (11)$$

روابط مذکور برای حل معادله‌ی دیفرانسیل حاکم به صورت رابطه‌ی ۱۲ مورد استفاده فراز می‌گیرند:<sup>[۱۰]</sup>

$$[M][\ddot{U}_t] + [K][U_t] + [C][F_t] = [F_t(t)] \quad (12)$$



شکل ۲. مدل برخورد به روش انتشار موج.

یک ساختمان بلند به کار گرفته شده است. معادله‌ی اندازه‌ی حرکت ضربه‌ی موج با صرف نظر از اثر شرایط مرزی به صورت رابطه‌ی ۹ نوشته می‌شود:<sup>[۸]</sup>

$$P_{dyn} = D \cdot V \quad (9)$$

با فرض سرعت بار ضربه‌ی آوار برابر  $V = \sqrt{2gH}$  و میرایی  $A_{eq}$  و چگالی معادل میله برابر  $\rho_{eq} = \frac{A_c}{A_{eq}}$  و سرعت انتشار موج محوری  $v = \sqrt{\frac{E}{\rho}}$  و  $A_c$  و  $A_{eq}$  به ترتیب سطح مقطع کل ساختمان و سطح کل مقطع اعضاء بار برابر ضربی ضربه‌ی دینامیکی طبق رابطه‌ی ۱۰ خواهد بود:

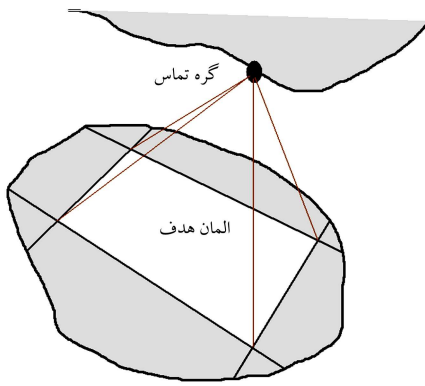
$$DLF = \frac{P_{dyn}}{W} = \frac{A_c \sqrt{2gH \rho E}}{W} \quad (10)$$

مقادیر به دست آمده از این رابطه کوچک‌تر از دو روش قبل است. در صورت درنظرگرفتن اثرات شرایط مرزی و انعکاس موج، مقادیر ضریب ضربه‌ی کمتری به دست خواهد آمد.

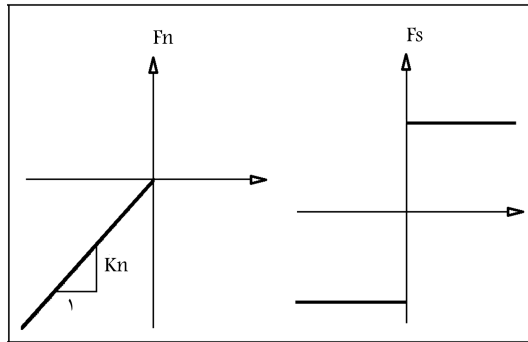
**۴.۲. شبیه‌سازی آزمایشگاهی برخورد**  
آزمایش‌های برخورد در مقیاس واقعی برای برخی از اجزاء سازه‌های بتی نظیر دیوارها انجام و نتایج آنها ارائه شده است، اما در مورد سازه‌های فولادی نتایج آزمایش با مقیاس‌های واقعی در دسترس نیست. در مقیاس‌های کوچک‌تر نتایج آزمایش‌های برخورد پرتا به‌ها با سرعت‌های متوسط و بالا روی تیرهای کوتاه فلزی

جدول ۱. نتایج تحلیل حساسیت به دست آمده از آزمایش.

DLF	تغییرمکان دینامیکی (mm)	سرعت سقوط آوار (m/s)	قطعه تیر (mm)	طول تیر (mm)	b × h (mm)
۶۰,۷	۲,۴۷	۳,۳۳	۱۰ ۱,۶	۵,۰۸ × ۳,۸۱	
۱۰۶,۰	۶,۰۶	۵,۱۸	۱۰ ۱,۶	۵,۰۸ × ۳,۸۱	
۱۴۴,۰	۸,۲۳	۷,۰۳	۱۰ ۱,۶	۵,۰۸ × ۳,۸۱	
۱۹۸,۶	۱۱,۳۵	۹,۸۰	۱۰ ۱,۶	۵,۰۸ × ۳,۸۱	
۲۱۸,۶	۱۲,۵۰	۱۱,۴۷	۱۰ ۱,۶	۵,۰۸ × ۳,۸۱	



شکل ۳. گرهای درگیر در تحلیل عددی تماش.



شکل ۴. مدل رفتار اصطکاک کولمب در تماش.

دو مدل متدالو برای فرمول بندی ریاضی مسئله‌ی تماش وجود دارد که عبارت‌اند از: روش ضرایب لاگرانژ و روش تابع جریمه.<sup>[۱۰]</sup> روش ضرایب لاگرانژ تابع دقیق‌تری در مورد فشار تماش و میزان تغییرمکان نفوذی ناشی از برخورد به دست می‌دهد، اما هم‌گرایی آن با افزایش تعداد گره‌های تحت تماش بسیار مشکل می‌شود. از طرف دیگر، روش تابع جریمه جواب‌های تقریبی‌تری می‌دهد، اما در مقابل تعداد مجھولات کمتری برای همگراشدن در محل تماش دارد و سریع‌تر به جواب می‌رسد.

با توجه به نتیجه‌ی پژوهش انجام شده در مسئله‌ی تماش برخورد و ریزش آوار برای حصول سریع‌تر به جواب از روش دوم استفاده می‌شود. با درنظر گرفتن رابطه‌ی سختی در تماش به صورت رابطه‌ی ۱۶، روش تابع جریمه سعی می‌کند عبارت ناشی از جایگذاری تابع جریمه در معادله‌ی سختی تماش را کمینه سازد:<sup>[۱۰]</sup>

$$[K]_p [U] = [F]_p \quad (16)$$

که در آن عبارات جریمه در تحلیل غیرخطی تماش به صورت روابط ۱۷ ظاهر می‌شوند:

$$\begin{aligned} [K]_p &= [K] + \zeta [G]^T [G] \\ [F]_p &= [F] - \alpha [G]^T [d] \end{aligned} \quad (17)$$

که در آن‌ها،  $\zeta$  و  $\alpha$  پارامترهای جریمه و  $G$  ماتریس قید خطی و  $d$  بردار گپ یا فاصله‌ی اولیه‌ی تماش و  $p$  اندیس نشان‌دهنده‌ی جریمه است.

فشار ناشی از تماش در این روش بر حسب میزان تغییرمکان نفوذی به صورت رابطه‌ی ۱۸ بیان می‌شود:<sup>[۱۰]</sup>

$$[CP]_p = \zeta \cdot \{ [G] [U] + [d] \} \quad (18)$$

زمانی که روابط صریح در معادله‌ی مذکور جایگزین می‌شوند، پس از ساده‌سازی رابطه‌ی ۱۳ را خواهیم داشت:<sup>[۱۰]</sup>

$$\begin{aligned} \left( \frac{1}{\Delta t^{\star}} [M] + \frac{1}{2\Delta t} [C] \right) [U_{t+\Delta t}] &= [F_t(t)] - \left( [K] - \frac{2}{\Delta t^{\star}} [M] \right) [U_t] \\ &- \left( \frac{1}{\Delta t^{\star}} [M] - \frac{1}{2\Delta t} [C] \right) [U_{t-\Delta t}] \end{aligned} \quad (13)$$

در این رابطه، پارامترهای  $U$  در زمان‌های  $t$  و  $t - \Delta t$  در هرگام زمانی بر حسب گام قابلی به دست می‌آیند. برای به دست آوردن شرایط اولیه در اولین گام در زمان صفر که در رابطه‌ی حل صریح پارامتر تغییرمکان بر حسب زمان  $-\Delta t$  بیان می‌شود، از رابطه‌ی ۱۴ استفاده می‌کنیم:

$$U_{-\Delta t} = U_0 - \Delta t \cdot \dot{U}_0 + \frac{\Delta t^{\star}}{2} \ddot{U}_0. \quad (14)$$

در حالت ساده با صرف نظر از میرابی وابسته به سرعت، رابطه‌ی حل صریح برخورد به صورت رابطه‌ی ۱۵ به دست می‌آید:

$$\begin{aligned} \left( \frac{1}{\Delta t^{\star}} [M] \right) [U_{t+\Delta t}] &= [F_t(t)] - \left( [K] - \frac{2}{\Delta t^{\star}} [M] \right) [U_t] \\ &- \left( \frac{1}{\Delta t^{\star}} [M] \right) [U_{t-\Delta t}] \end{aligned} \quad (15)$$

با ترکیب این روابط با روابط مکانیک تماش، روش تحلیل دینامیکی صریح مسائل برخورد به دست می‌آید.<sup>[۱۰]</sup>

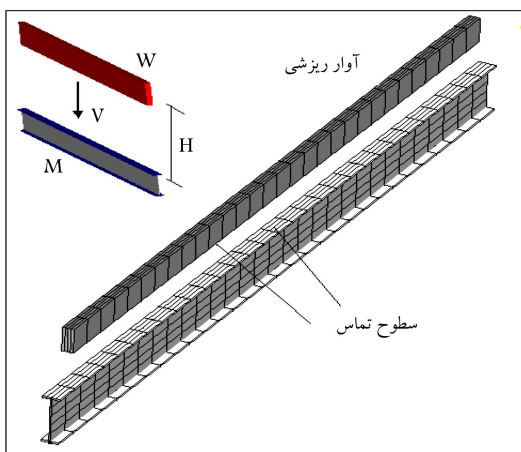
### ۲.۳. دینامیک تماش برخورد

مسائل مهندسی برخورد به شدت غیرخطی است و نیاز به روش‌های عددی پیشرفته و ابزارهای نرم افزاری و تحلیلی قدرتمندی برای تحلیل دارند. در تحلیل این‌گونه مسائل، مشکلات زیادی از قبیل: هندسه‌ی غیرخطی، رفتار مصالح دو جسم برخوردکننده، شرایط اولیه‌ی برخورد و تماش و تغییر آن در رفت و برگشت‌های مکرر و سازگاری فیزیکی و مکانیکی دو جسم در طول تحلیل وجود دارد، که هم‌گرایی درست آنها را دشوار می‌سازد.

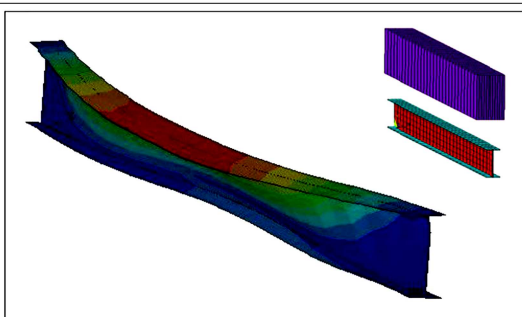
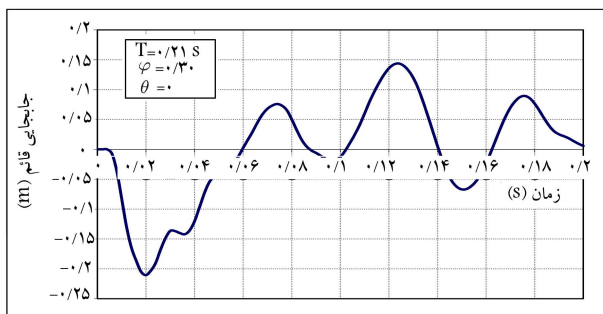
محدوده‌ی واقعی تماش با تغییر تعریف شرایط اولیه ممکن است با شرایط واقعی تفاوت زیادی داشته باشد. در مسائل برخورد با سرعت‌های کمتر و مصالح سخت معمولاً از برخورد دو جسم سخت و در شرایط غیرخطی شدن یکی از مصالح مانند مسائل شکل‌دهی فولاد در متالورژی از برخورد جسم سخت با جسم انعطاف‌پذیر و در شرایط تغییر فرم هر دو جسم برخوردکننده از برخورد دو جسم انعطاف‌پذیر استفاده می‌شود. طبیعی است که با انعطاف‌پذیرشدن مسئله‌ی تماش برخورد تحلیل و همگراشدن آن در مسائل عددی نیز بسیار مشکل‌تر می‌شود و نیاز به دقت و افزایش بسیار زیاد حجم المان‌ها و تنظیم معیارهای هم‌گرایی دارد. اغلب در این مسائل مطابق شکل ۳ از گره‌های هدف و تماش استفاده می‌شود که مبدأ محاسبه‌ی نیروی اولیه‌ی تماش براساس آن مشخص می‌شود. نوع مسئله‌ی ریزش آوار بسته به ارتفاع ریزش و میزان آوار می‌تواند به تدریج از برخورد سخت به انعطاف‌پذیر تبدیل شود.<sup>[۱۱]</sup> مشکل دیگر در این نوع تحلیل‌ها نقش قابل توجه اصطکاک در برخورد است، که به شدت هم‌گرایی این مسائل را تحت شعاع قرار می‌دهد. در تحلیل انجام‌شده‌ی ریزش آوار از مدل برخورد اصطکاکی کولمب استفاده شده است (شکل ۴).

تحلیل صریح دینامیکی برخورد معمولاً برای مسائل تماش در زمان کوتاه مورد استفاده قرار می‌گیرد و اندرکش اولیه‌ی دو جسم برای استخراج میزان نیروی انتقال یافته در تماش مورد بررسی واقع می‌شود.

است. در حالات حدی اگر  $\zeta$  بسیار بزرگ باشد، تحلیل به سمت ناپایداری می‌رود و در مقابل اگر  $\zeta$  بسیار کوچک باشد مقادیر باقیمانده‌ی ماتریس قید  $G$  غیر قابل توجیه خواهد بود.



شکل ۵. مدل اجزاء محدود برخورد ناشی از ریزش آوار.



شکل ۶. نمونه‌ی تاریخچه‌ی زمانی و توزیع تغییرمکان در لحظه‌ی بیشینه در برخورد ناشی از ریزش آوار.

نمونه‌ی نتایج تحلیل حساسیت پارامترها در شکل ۷ نشان داده شده است.

نتایج تحلیل‌های انجام شده نشان می‌دهد که ضریب بار دینامیکی با جذر نسبت جرم تیر به سختی خشی آن یعنی  $\sqrt{\frac{M}{EI}}$  نسبت معکوس دارد.

با افزایش طول تیر تحتانی یا کاهش سختی آن یا افزایش جرم آن، دوره‌ی تناوب ارتعاشی آن افزایش می‌یابد و انتظار می‌رود که ضریب بار دینامیکی نیز افزایش یابد. از طرفی اگر سختی تیر تحتانی افزایش یابد، تغییرمکان استاتیکی کاهش بیشتری نسبت به تغییرمکان دینامیکی پیدا می‌کند و می‌تواند باعث افزایش ضریب بار دینامیکی شود. برای نمونه‌ی دیگر در مورد جرم آوار در ظاهر به نظر رسید که افزایش آن منجر به افزایش ضریب بار دینامیکی می‌شود، ولی با توجه به اضافه شدن آن در محاسبه‌ی تغییرمکان استاتیکی عملکار کاهش ضریب بار دینامیکی هم مورد انتظار خواهد بود. پاسخ چنین شبهاتی عملکار بررسی نتایج تحلیل پارامتری مسئله‌ی برخورد مشخص می‌شود.<sup>[۱۲]</sup>

## ۴. تحلیل پارامتری عددی ریزش آوار

### ۱۰.۴. مدل تحلیل عددی

در این بخش نتایج تحلیل عددی برخورد ناشی از ریزش آوار در ساختمان‌ها مورد بررسی قرار گرفته و نمونه‌ی مدل اجزاء محدود مورد استفاده در شکل ۵ نشان داده شده است. در این مدل‌ها جرم تیر یا آوار سقوط‌کننده به صورت جرم معادل آوار و جرم تیر تحت برخورد یا ضربه شامل سهم جرم نوسان‌کننده با آن در طبقه‌ی تحتانی است. المان‌های مورد استفاده دارای ۱۲ درجه‌ی آزادی و ۵ نقطه‌ی انتگرال‌گیری گاویسی هستند. درجات آزادی گره‌ها در برگردانه‌ی تغییرمکان، دوران، سرعت و شتاب در دستگاه سه بعدی هستند. نفوذ اولیه در لحظه‌ی تماس، تغییر جهت خودکار برداهای تابع زمان و اثرات ناشی از تغییر ضخامت المان‌ها در تحلیل در نظر گرفته شده است.<sup>[۱۳]</sup>

روش انتخاب شده برای همگرامی به صورت چند پارامتری است و در زیرگام‌های زمانی برآساس نرم‌های بی‌نهایت اعمال شده است. در شکل ۶، نمونه‌ی از تاریخچه‌ی زمانی تغییرمکان وسط دهانه‌ی تیر است، که در حالت سقوط هم‌زمان آوار روی تیر یعنی زمانی که زاویه‌ی برابر صفر است، به دست آمده است.

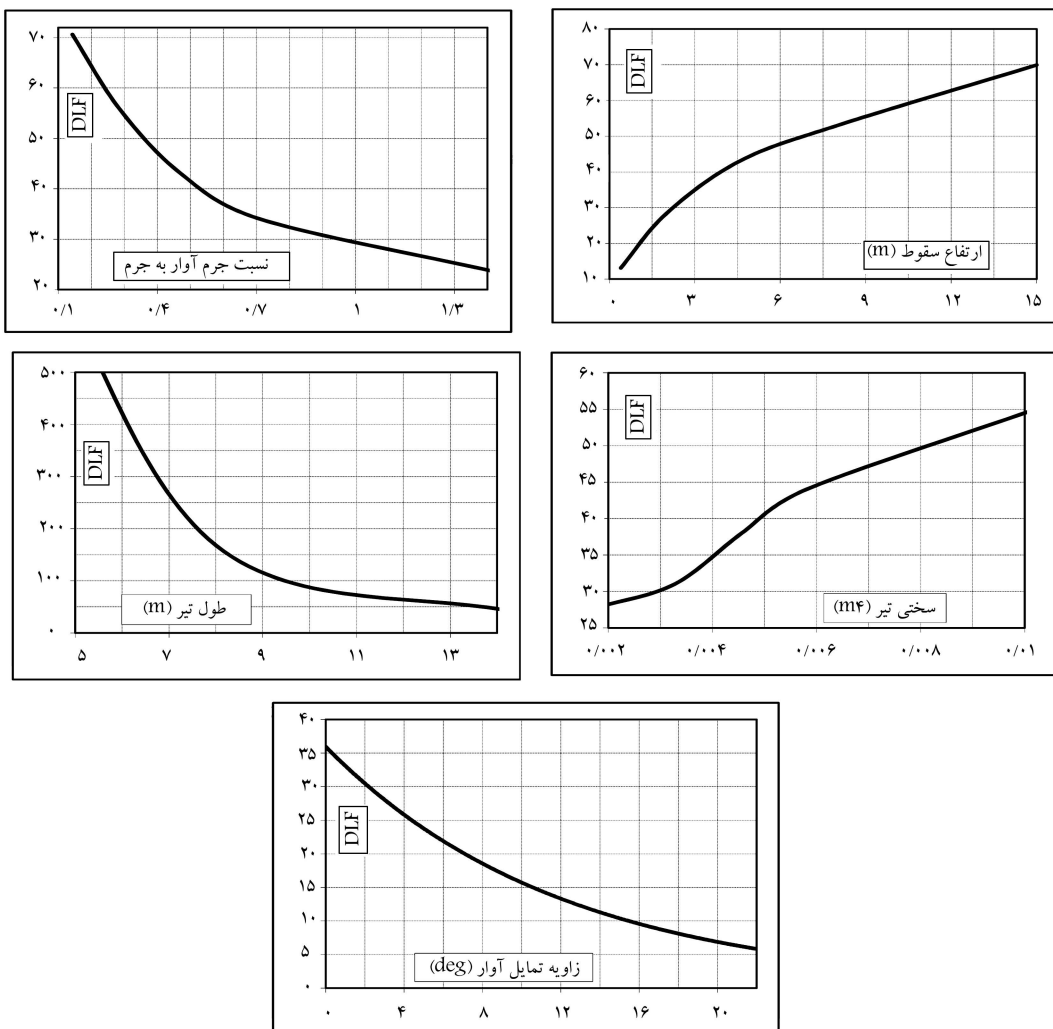
### ۲۰.۴. استخراج پارامترهای حساس

برای بررسی پارامتری و استخراج نتایج کاربردی لازم است پارامترهای حساس مسئله شناخته و استخراج شوند. این پارامترها شامل ورودی‌ها، خصوصیات هندسی و مکانیکی سازه و خروجی‌ها هستند. پارامترهای ورودی که عملاً انرژی برخورد و نحوه‌ی ورود آن را تعیین می‌کنند، شامل: وزن آوار  $W$ ، ارتفاع سقوط  $H$  یا سرعت برخورد  $V$ ، زاویه‌ی برخورد  $\theta$  و نقطه‌ی برخورد ناشی از آن هستند. پارامترهای سازه شامل: طول  $L$ ، جرم  $m$ ، سختی دینامیکی  $EI$ ، شرایط تکیه‌گاهی و نتیجتاً دوره‌ی تناوب ارتعاشی  $T$  هستند، که البته در حالت غیرخطی افزایش می‌یابند. دوره‌ی تناوب ارتعاشی اولیه برای تیر تحت برخورد به صورت تحلیلی قابل محاسبه است و برای تیر دوسرگیردار به صورت رابطه‌ی ۱۹ بیان می‌شود:<sup>[۱۴]</sup>

$$T = 0,2808L^{\frac{1}{2}} \sqrt{\frac{m}{EI}} \quad (19)$$

پارامترهای خروجی تحلیلی بسیار متفاوت هستند، ولی برای مقاصد طراحی از ضریب بار دینامیکی DLF استفاده می‌شود که در اینجا برابر نسبت بیشینه‌ی تغییرمکان دینامیکی ناشی از برخورد آوار به بیشینه‌ی تغییرمکان استاتیکی تحت همان بار آوار در نظر گرفته شده است.

مرحله‌ی بعدی تعیین نحوه‌ی تغییرات این پارامترها یا حساسیت آنها نسبت به یکدیگر و خصوصاً در میرزان خروجی است. اثر تعدادی از این پارامترها قابل پیش‌بینی است. برای مثال با افزایش ارتفاع یا سرعت برخورد انرژی ورودی افزایش می‌یابد، که طبیعتاً باعث افزایش ضریب بار دینامیکی می‌شود. اثر برخی پارامترها نیز به سادگی قابل پیش‌بینی نیست.



شکل ۷. تحلیل حساسیت منفرد ضریب بار دینامیکی.

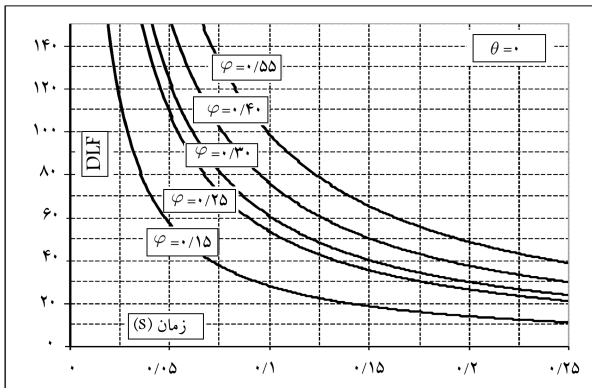
برخورد تأثیر قابل توجهی می‌گذارد. انرژی انتقالی ناشی از برخورد از طرق مختلفی می‌تواند مستهلاک شود، که از جمله مهم‌ترین آنها رفتار غیرخطی اتصالات و ظرفیت جذب قطعات الحاقی و غیرسازه‌ی در حد فاصل محل تماس است. نتایج ارائه شده در شکل ۹ نشان می‌دهد که چگونه استهلاک انرژی می‌تواند باعث کاهش ضریب بار دینامیکی شود. همچنین این نموگرام ارتباط جالبی بین پارامترهای حساس و جذب انرژی ایجاد می‌کند. برای مثال با کاهش ارتفاع سقوط به  $H = 6\text{ m}$  می‌توان با کاهش انرژی رودی، ۴۰٪ استهلاک انرژی به دست آورد. همین کار را می‌توان با تغییر پارامتر  $\varphi$  به  $77.5^\circ$  انجام داد.

### ۳.۴. نموگرام‌های ضریب بار دینامیکی ریزش آوار

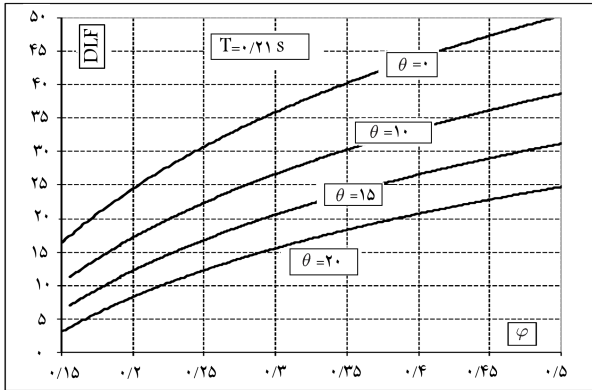
پس از تعیین پارامترهای حساس و اثر آنها در ضریب بار دینامیکی، نموگرام‌های کاربردی طراحی برای تعیین ضریب بار دینامیکی ضریب ناشی از ریزش آوار ارائه می‌شوند. این نموگرام‌ها براساس ۳ پارامتر اصلی دوره‌ی تناوب ارتعاشی سازه تحت برخورد، پارامتر  $\varphi$  و زاویه‌ی برخورد آوار تهیه شده‌اند که نمونه‌ی آنها در شکل ۱۰ ارائه شده است، که در آن تغییرات ضریب بار دینامیکی بر حسب دوره‌ی تناوب ارتعاشی اول سازه به ازاء زاویه‌ی سقوط آوار برابر صفر برای مقادیر مختلف  $\varphi$  از

همچنین این پارامتر با مربع طول تیر یعنی  $L^2$  هم نسبت عکس دارد. بنابراین در مجموع ضریب بار دینامیکی نسبت معکوس با دوره‌ی تناوب اول ارتعاشی تیر خواهد داشت. نتایج تحلیل‌ها همچنین نشان داده است که ضریب بار دینامیکی متناسب با جذر نسبت ارتفاع سقوط به وزن واحد طول تیر، یعنی  $w = \frac{W}{L}$  است؛ که این نسبت در قالب پارامتر  $\sqrt{\frac{H}{w}} = \varphi$  بیان شده است. نهایتاً برای استخراج پارامترهای حساس در به دست آوردن نموگرام‌های طراحی دو پارامتر  $T$  و  $\varphi$  مورد توجه بیشتری قرار می‌گرند. پارامترهای غیرحساس نظری سختی آوار نیز در استخراج نتایج کاربردی ثابت فرض شده‌اند. البته که تغییرات پارامترها برای تحلیل حساسیت در محدوده‌ی واقعی و کاربردی آنها در نظر گرفته شده است.

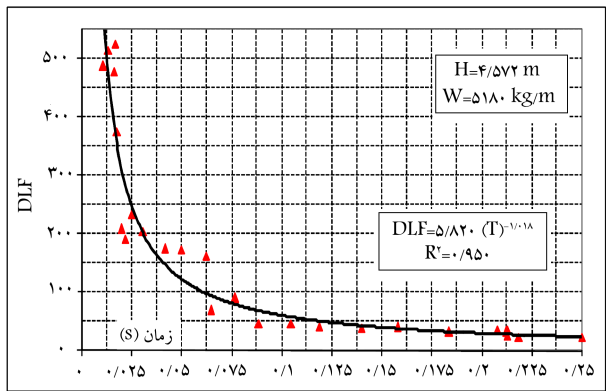
شکل ۸، منحنی تغییرات ضریب بار دینامیکی به ازاء  $\varphi = 0, 30, 60, 90^\circ$  را برحسب دوره‌ی تناوب ارتعاشی تیر نشان می‌دهد. تغییرات ضریب بار دینامیکی به نسبت عکس دوره‌ی تناوب در این منحنی مشخص است. پارامتر دیگری که می‌تواند توجه قرار گیرد، میرایی است. نتایج تحلیل‌ها نشان می‌هند که میرایی لزجی در آوار و سازه در ضریب بار دینامیکی بیشینه که در لحظات اول برخورد رخ می‌دهد، نقش زیادی ندارد؛ ولی البته در تاریخچه‌ی زمانی



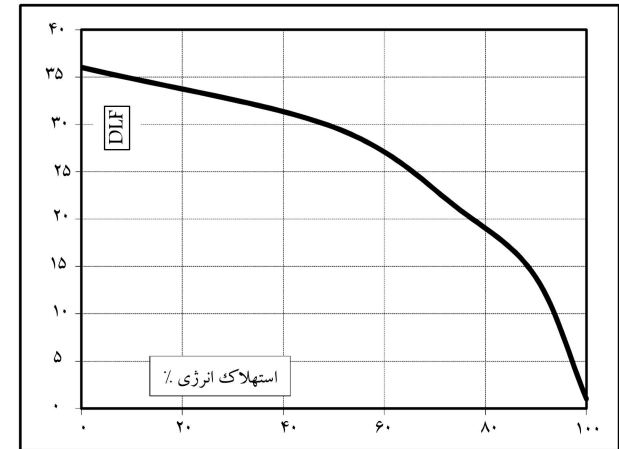
شکل ۱۰. تغییرات ضریب بار دینامیکی با دوره‌ی تناوب ارتعاشی تیر به ازاء مقادیر مختلف  $\varphi$ .



شکل ۱۱. تغییرات ضریب بار دینامیکی با پارامتر  $\theta$  به ازاء مقادیر مختلف زاویه‌ی آوار با تیر در برخورد.



شکل ۱۲. استخراج منحنی تغییرات ضریب بار دینامیکی به ازاء  $\varphi = ۳۰^\circ$ .



شکل ۹. اثر استهلاک انرژی تخریب در ضریب بار دینامیکی.

ضریب بار دینامیکی از نسبت بیشینه‌ی نیروی دینامیکی به بیشینه‌ی نیروی استاتیکی استفاده می‌شود.

در شکل ۱۲، تغییرات ممان بیشینه‌ی دینامیکی غیرخطی به ممان بیشینه‌ی خمیری مقطع به ازاء زاویه‌ی سقوط صفر و تنش بیشینه‌ی جاری شدن ۳۰° مگاپاسکال و ۵٪ سخت‌شوندگی کرنش نشان داده است.

در این تحلیل‌ها سرعت بارگذاری طوری در نظر گرفته شده است که رفتار غیرخطی کاملاً حاصل شود. در حالتی که رفتار به سمت خطی می‌کند، یعنی تقریباً به ازاء مقادیر ضریب بار دینامیکی حدود ۳ تا ۴، نتایج روش خطی و غیرخطی به یکدیگر نزدیک می‌شوند. تحلیل حساسیت پارامترهای مدل غیرخطی برای بررسی نهونه‌ی تغییرات ضریب بار دینامیکی نیز صورت گرفته است. نمونه‌ی این نتایج برای میزان تنش جاری شدن و میزان سخت‌شوندگی مدل غیرخطی مصالح در شکل‌های ۱۳ و ۱۴ ارائه شده است.

همان‌طور که ملاحظه می‌شود با افزایش تنش جاری شدن فولاد ضریب بار دینامیکی کاهش می‌یابد. از طرف دیگر، با افزایش میزان سخت‌شوندگی کرنش فولاد در مدل دوخطی نیز ضریب بار دینامیکی روند کاهشی از خود نشان می‌دهد.

برای بررسی صحت مدل دینامیکی غیرخطی از نتایج آزمایش‌های انجام شده‌ی موجود بر روی نمونه‌های کوچک می‌توان استفاده کرد. این آزمایش‌ها برای تیر دو سر ساده و دو سرگیردار انجام شده است. شکل ۱۵، نمونه‌ی از این نتایج را برای یک تیر فولادی با مقطع مربع به ابعاد ۵/۰۸ میلی‌متر و طول ۱۶ میلی‌متر با تنش

[۱۵] و [۱۶] جاری شدن ۳۳۷ مگاپاسکال نشان می‌دهد.

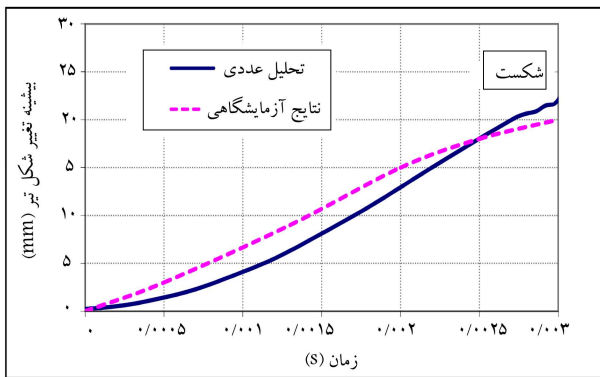
۱۵ تا ۵۵٪ مشاهده می‌شود. با افزایش این پارامتر مقدار ضریب بار دینامیکی هم افزایش نشان می‌دهد. همان‌طور که ملاحظه می‌شود، افزایش دوره‌ی تناوب سازه تحت برخورد باعث کاهش شدید ضریب بار دینامیکی می‌شود.

در تیرهای کوتاه تحت برخورد آوار مود خرابی برشی عمدتاً حاکم است و شکست آنی در ناحیه‌ی نزدیک به تکیگاه یا اتصال اتفاق می‌افتد. افزایش دوره‌ی تناوب سازه با افزایش طول یا تغییر خصوصیات تیر و نیز رفتار غیرخطی آن میسر خواهد بود.

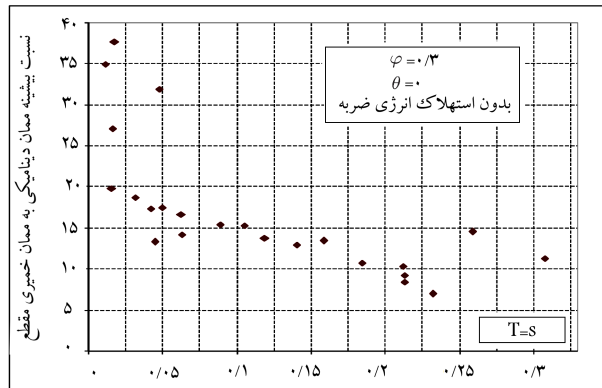
در شکل ۱۱، تغییرات ضریب بار دینامیکی ریزش آوار بر حسب پارامتر  $\theta$  به ازاء مقادیر مختلف زاویه‌ی برخورد آوار با سازه از ۰ تا ۲۰ درجه برای دوره‌ی تناوب اول ارتعاشی تیر برابر ۲۱٪ ثانیه نشان داده شده است. همان‌طور که مشاهده می‌شود، افزایش زاویه‌ی برخورد که طبیعتاً عمره با تغییر مختصات نقطه‌ی برخورد بوده است، باعث کاهش ضریب بار دینامیکی شده است. این روند تغییرات به ازاء مقادیر متفاوت سایر پارامترها ثابت باقی می‌ماند.

#### ۴.۴. اثرات رفتار غیرارتجاعی

در حالت رفتار غیرخطی نسبت تعییرمکان بیشینه‌ی دینامیکی به تعییرمکان بیشینه‌ی استاتیکی تعریف مناسبی برای ضریب بار دینامیکی نخواهد بود. چرا که برخلاف تحلیل ارجاعی، در حالت دینامیکی غیرخطی و خمیری شدن مقاطع نزدیک افزایش تعییرمکان دینامیکی غیرخطی به سرعت افزایش می‌یابند و مقادیر ضریب بار دینامیکی به‌طور غیرواقعی افزایش می‌یابند. در این نوع تحلیل برای بدست آوردن



شکل ۱۵. مقایسه‌ی نتایج مدل دینامیکی غیرخطی با نتایج آزمایش‌های موجود روی تیرهای فلزی.



شکل ۱۶. تغییرات میزان بیشینه‌ی دینامیکی غیرخطی به میزان بیشینه‌ی خمیری مقطوع به ازء زاویه‌ی سقوط صفر و تنفس بیشینه‌ی جاری شدن ۳۰۰ مگاپاسکال و ۵٪ سخت‌شوندگی کرنش و  $\varphi = 0.73$ .

## ۵. نتیجه‌گیری

در این مطالعه ضمن معرفی و مقایسه‌ی روش‌های مختلف، محاسبه‌ی ضربه‌ی دینامیکی ناشی از فروریزش آوار با انجام تحلیل‌های حساسیت دینامیکی صریح تماس غیرخطی برخورد، ضمن شناسایی پارامترهای مؤثر و حساس بر روی سازه، نموگرام‌های پیشنهادی طراحی برای تعیین ضربیت ضربه‌ی ناشی از بار دینامیکی ریزش آوار استخراج شده است.

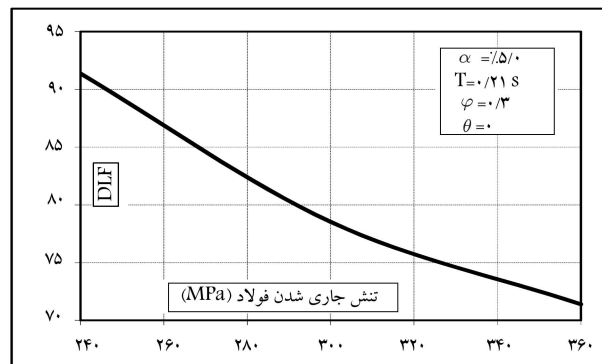
مقادیر معمول ضربیت بار دینامیکی بدون احتساب استهلاک انرژی برای ساختمانهای متداول بین ۲۰ تا ۵۰ در حدود می‌آید، که در حالت ایده‌آل منجر به شکست کامل سازه تحت اثر آن می‌شود. به طور واقع‌بینانه و با احتساب حدود ۶۰ تا ۷۵ درصد استهلاک انرژی ناشی از شکل‌بندی سازه در سازه‌های با سطح شکل‌بندی متوسط، اثر استهلاک پوشش‌های غیرسازه‌بی و سقوط تأثیری آوار از ۰ تا ۵۰ درصد تأثیر زمانی و احتساب زاویه‌ی سقوط واقعی که معمولاً بیش از صفر درجه است، مقادیر ضربیت بار دینامیکی ناشی از ریزش آوار به حدود ۲ تا ۱۰ می‌رسند. این محدوده‌ی بار در بسیاری از شرایط با احتساب فرضیات فوق منجر به فروریزش سازه نمی‌شوند، گرچه برای مقادیر حد بالا یعنی نزدیک‌تر به ۱۰، خمیری شدن کامل و تخریب یا فروریزش می‌تواند قابل تصور باشد.

نتایج تحلیل‌های غیرخطی نشان می‌دهند که در حالت رفتار غیررتاجاعی ضربیت بار دینامیکی به دست‌آمده برای تیرهای معمول مورد مطالعه اعدادی بین ۸ تا ۱۲ بوده است. البته تحلیل‌های فوق نشان داده است که تحقق رفتار خمیری خشنی کامل و جذب بیشینه‌ی انرژی در سرعت‌های معمول سقوط آوار مثلاً از یک طبقه رخ نمی‌دهد.

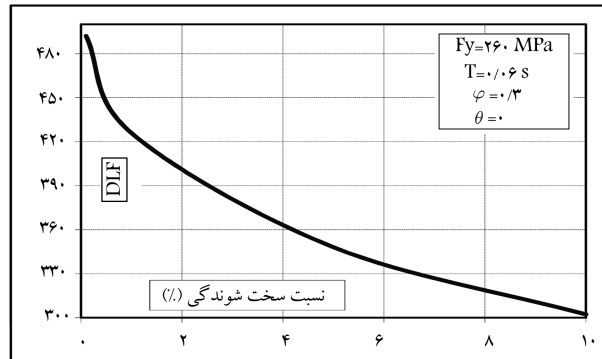
مود شکست در سازه‌ها با اتصالات مفصلی بیشتر به سمت مفاصل خمیری برشی در اتصالات خواهد بود و جذب انرژی زیادی حاصل نمی‌شود.<sup>[۱۷و ۱۸]</sup> بنابراین باید از سایر تمیهیدات برای افزایش شکل‌بندی اتصالات و ایجاد مکانیزم شکست نرم و در نتیجه کاهش آوار ریزشی استفاده کرد.<sup>[۱۹]</sup>

## تشکر و قدردانی

از حمایت‌های فنی دفتر فناوری شرکت کلان اندیشان پویا قدردانی می‌شود.



شکل ۱۷. حساسیت ضربیت بار دینامیکی به میزان تنفس جاری شدن فولاد.



شکل ۱۸. حساسیت ضربیت بار دینامیکی به میزان سخت شوندگی کرنش فولاد در غیرخطی سخت‌شونده.

مقایسه‌ی تاریخچه‌ی زمانی پاسخ نشان می‌دهد که مدل کشسان خمیری دوخطی در تحلیل دینامیکی برخورد نتایج قابل قبولی به دست می‌دهد. در مورد نمونه‌ی انتخاب شده، میانگین اختلاف ۸/۶٪ بوده است.

جدول ۱ نیز نتایج مقایسه‌ی تحلیل حساسیت آزمایش را نشان می‌دهد که روند غیربرخورد به دست‌آمده از تحلیل حساسیت عددی را تأیید می‌کند. البته نقاوت جزئی شرایط مرزی آزمایش و تحلیل، اختلاف کمی در بیشینه‌ی تغییرشکل شکست دو مدل ایجاد کرده است.

## (References) مراجع

1. U.S. General Services Administration, Progressive Collapse Analysis and Design Guidelines for new Federal Office Buildings and Major Modernization Projects (2004).
2. AISC, *Manual of Steel Construction, Load & Resistance Factor Design. I*, American Institute of Steel Construction, Inc. (2008)
3. Dusenberry, D.O. "Review of existing guidelines and provisions related to progressive collapse", MMC's Workshop on Prevention of Progressive Collapse, Illinois (2002).
4. Eurocode8, *Design Provisions for Structures*, European Committee for Standardization (2004).
5. National Research Council of Canada, *National Building Code of Canada*, Ottawa, Canada (2010).
6. Chopra, A.K., *Dynamics of Structures*, 3rd Edition, Prentice Hall, New York (2006).
7. Bathe, K.J., *Finite Element Procedure in Engineering Analysis*, Englewood Cliffs, NJ: Prentice-Hall (1995).
8. Kausel, E. "Inferno at the world trade center", NY, Massachusetts Institute of Technology <http://web.mit.edu/civenv/wtc> (2001).
9. Aliabadi, M.H. and Brebbia, C.A., *Computational Methods in Contact Mechanics*, Computational Mechanics Publications, Bell & Bain Ltd., Glasgow, Great Britain (2003).
10. Jones, N. "Quasi-static analysis of structural impact damage", *Journal of Constructional Steel Research*, **33**(3), pp. 151-177 (1995).
11. Horr, A.M. and Safi, M. "Multi-layered energy absorber frames for tall building under high speed impact", *Int. Jour. of Structural Design of Tall Buildings & Special Structures*, **5**(12), pp. 423-450 (2004).
12. ANSYS General Purpose F.E. Program, Ansys Inc., Houston, PA, USA (2011).
13. Wu, K.Q. and Yu, T.X. "Simple dynamic models of elastic-plastic structures under impact", *International Journal of Impact Engineering*, **25**(8), pp. 735-754 (2001).
14. Liu, J. and Jones, N. "Experimental investigation of clamped beams struck transversely by a mass", *Int. J. of Impact Engineering*, **6**(4), pp. 303-335 (1987).
15. Yang, J.L. and Xi, F. "Experimental and theoretical study of free-free beam subjected to impact at any cross-section along its span", *International Journal of Impact Engineering*, **28**(7), pp. 761-781 (2003).
16. U.S. Department of State, Office of Foreign Buildings Operations, "Progressive collapse design guidelines, Phase 1: Literature search" (2001).
17. U.S. Department of Defense, *Interim Antiterrorism/Force Protection Construction Standards*, Guidance on Structural Requirements (2001).
18. Gurley, C. "Progressive collapse and earthquake resistance", *Practice Periodical on Structural Design and Construction*, ASCE, **13**(1), pp. 9-23 (2008).